

## บทที่ 2

### ทฤษฎีการเกิดผลึกจากไอ

ผลึกเกิดจากการเปลี่ยนแปลงสถานะของสสาร (phase transition) อาจเกิดจากการเปลี่ยนแปลงจากของเหลวไปเป็นผลึก หรือ จากไอไปเป็นผลึก การเกิดผลึกไม่ได้เกิดโดยสมมำตเสมอ ๆ ทั่ว ๆ ไปภายในสถานะเริ่มต้น แต่จะเกิดเป็นหย่อม ๆ หรือจุด ๆ โดยทั่ว ๆ ไปภายในสถานะเริ่มต้นนั้น ๆ

กระบวนการการเจริญของผลึก ในกรณีที่ห้องแรกเริ่มในสถานะของแข็ง (ที่เป็นผลึกเล็ก ๆ seed) อุณหภูมิในระบบ การควบแน่นของไอ (หรือจากสถานะไก่ต้ม) ห้อมทั่วทั้งภาชนะ (supersaturated vapor) เกิดขึ้นเป็น 2 ชั้นตอน ชั้นแรก เรียกว่า นิวเคลียชัน (nucleation) ซึ่งประกอบไปด้วยการเกิดผลึกเล็ก ๆ ที่มีขนาด วิกฤตที่แน่นอน (certain critical size) ชั้นตอนที่ 2 ก็คืออุณหภูมิผลึกเล็ก ๆ ที่เกิดโดยช่วงการนิวเคลียชัน เรียบร้อยแล้ว การการเจริญท่อไปจนได้ลักษณะคล้าย ๆ โถช่วงการถ่ายเท (transport process) ไม่เลกุณหรืออะกอนที่ควบแน่นลงไปบนผิวของผลึกเล็ก ๆ หรือนิวเคลียส (nucleus) จะทองໄครับการถ่ายเท (transport) มาจากที่ใกล้หนึ่งที่มีระบบทางหางออกไป ภายในของในอนันน์ ๆ การเกิดนิวเคลียชันนั้นต้องการความอิ่มทั่วทั้งภาชนะเพียงที่จะดึงระบบให้เกิน metastable region ไป เมื่อมีนิวเคลียสในสถานะเริ่มต้นเรียบร้อยแล้ว การเจริญของผลึกสามารถดำเนินต่อไปได้ ภายในสภาวะอิ่มทั่วทั้งภาชนะหากำกวากา metastable มาก<sup>(7)</sup>

การเกิดอุณหภูมนิวเคลียส (nuclei) จากภาวะการอิ่มทั่วทั้งภาชนะไอในช่วง การการเจริญของผลึกสามารถเกิดเป็น(1)homogeneous ซึ่งในกรณีก้อนนิวเคลียสเกิดขึ้น

เองโดยลำพัง ภายในก้อนของสถานะไอ จากการความแน่นโดยตรง (2) เป็น heterogeneous ซึ่งในกรณีนี้คุณนิวเคลียส เกิดขึ้นบนผิวของภาชนะที่บรรจุของในลักษณะ หรือเกิดบนอนุภาคที่เป็นฝุ่น (dust particles) ซึ่งชวนคลอของอยู่ภายในก้อนของของในลักษณะ มีตัวมีนาแรงในเกิดปรากฏการณ์ของนิวเคลียชนั้น ดังนั้นจะเห็นว่า การเกิด heterogeneous nucleation ห้องการความอิ่มตัวยังขาดของสถานะเริ่มต้นกว่า homogeneous หาก นิวเคลียชนั้น ส่วนมากเป็น heterogeneous เนื่องจากว่าในการทดลองนั้น การกำจัดฝุ่นละอองให้หมดไปทำให้ยากและอีกอย่างหนึ่งผิวของที่บรรจุของในลักษณะเป็นตัวแรงปฏิกิริยาของการเกิดนิวเคลียชนั้นได้ (?)

### นิวเคลียชนั้น (Nucleation)

การเริ่มเกิดสถานะใหม่เป็นผลิตภัณฑ์ขนาดเล็ก ๆ หาก สถานะเดิมที่เป็นของเหลว สารละลายหรือไอ ก็แล้วแต่ เราเรียกบริษัทว่า นิวเคลียชนั้น และผลิตภัณฑ์ เด็ก ๆ เหล่านี้เรียกว่า นิวเคลียส (nucleus) เมื่อเกิดนิวเคลียสแล้ว ผลิตภัณฑ์จะเจริญขึ้นด้วย อัตราคงที่ ภายใต้เงื่อนไขที่เหมาะสมของอนุภูมิ ความคัน ปริมาณกร ประระคัน ความอิ่มตัวของสถานะเริ่มต้นของสาร เป็นต้น อัตราการเจริญหายจากอัตราชั่งโน้มถ่วงหรืออัตราชั่งโน้มของสารไปถึงผิวและอัตราชั่งสารเข้าไปอยู่ภายในโครงสร้างของผลิตภัณฑ์การเกิดนิวเคลียชนั้น ในตอนเริ่มต้นเกิดผลิตภัณฑ์

ถ้ากำหนดให้มีกลุ่มของโนเมกุล  $N_n$  กลุ่มแทรกกลุ่มนี้  $n$  โนเมกุล จำนวนของโนเมกุลเหล่านี้คือ ผลิตภัณฑ์ หรือนิวเคลียสที่เกิดจากกระบวนการนิวเคลียชนั้น จำนวนนิวเคลียสเหล่านั้นหง�数คือ  $\frac{N}{n}$  (8)

$$N_n \approx N \exp(-g_n/kT) \dots\dots\dots(1)$$

เมื่อ  $N$  คือ จำนวนโมเลกุลทั้งหมด  $g_n$  คือ พลังงานอิสระ (free energy)  $k$  คือ กำลังที่ของ Boltzmann และ  $T$  คือ องศาสัมบูรณ์ (absolute temperature) Volmer<sup>(8)</sup> ได้สันนิฐานเอาไว้ว่า นิวเคลียสเหล่านี้จะเกิดขึ้นก็ต่อเมื่อ  $n < n_c$  เท่านั้น สำหรับ  $n > n_c$  นิวเคลียสจะไม่เสถียรและจะระเหิดไป เมื่อ  $n_c$  เป็นจำนวนโมเลกุล ของกรีติกอลนิวคลีโอ (critical nuclei)

อัตราการเกิดนิวคลีโอชั้น (I) ขึ้นกับอัตรา  $q_{o A_c}$  ซึ่งโมเลกุลเดียว ชนและรวมเข้า กับ critical nuclei ที่มีขนาด  $A_c$  และเปรียบเทียบกับฟลักซ์  $q_o$  ของโมเลกุลที่เข้าไปถึงนิวเคลียสพื้นที่  $A_c$  จำนวน  $N_n$  กลุ่ม

ดังนั้นเขียนอัตราการเกิดนิวคลีโอชั้นได้ตามสมการ

$$I = q_{o A_c} N_n$$

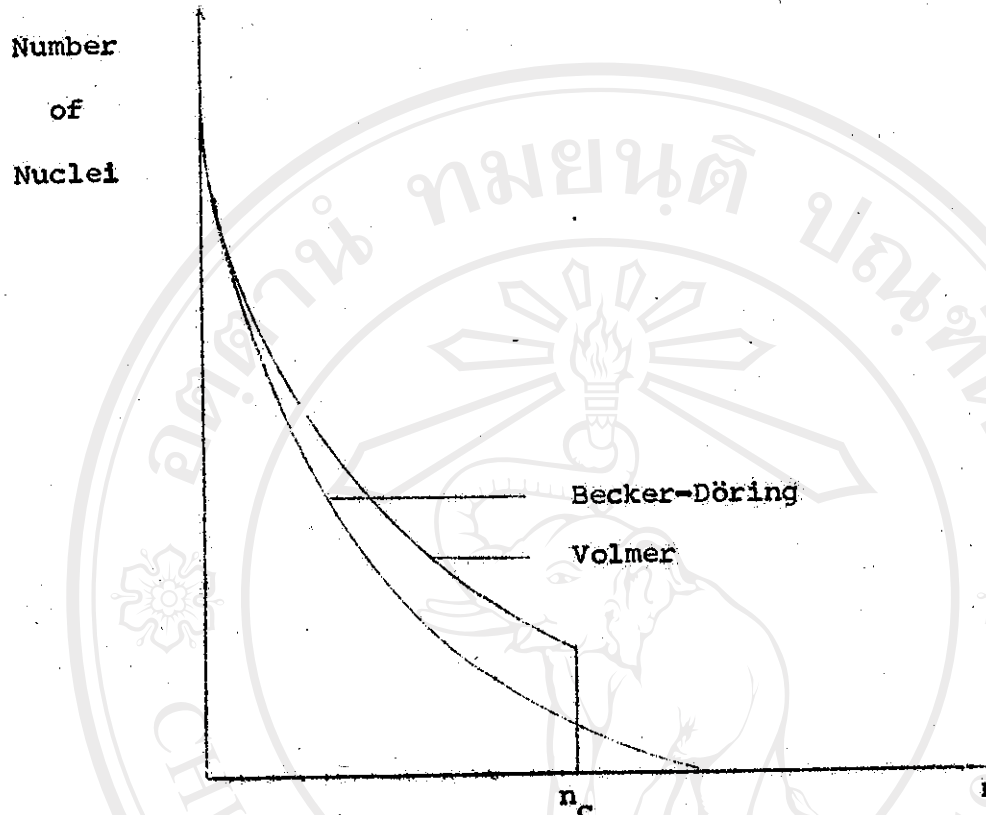
$$I = N q_{o A_c} \exp(-g_c^*/kT) \quad \dots\dots(2)$$

$g_c^*$  คือ กำพลังงานอิสระมากสุดของ critical nuclei

ถ้า  $q_o$  หาได้จากทฤษฎีจ墩ของแก๊ส (the kinetic theory of gasses)

สำหรับ กรณีการเจริญของผลึกจากไอ ผลึกเล็ก ๆ ที่เกิดจากจำนวนการนิวคลีโอชั้น ที่มีค่าพลังงานอิสระน้อยสุดจะมีรูปร่างภายนอกเป็นไปตาม Wulff's theorem<sup>(8)</sup> ซึ่งอาจจะมีลักษณะ เป็นรูปหลายเหลี่ยม จัด格子ในตอนหลัง

Becker และ Döring<sup>(9)</sup> ได้แก้ไขข้อสันนิฐานของ Volmer ที่กล่าว ว่าสมการ (1) จะมีค่าคงคา  $n_c$  เท่านั้นและหลังจากการนิวเคลียสจะระเหิด แทคความ เป็นจริงแล้ว critical size nuclei สามารถที่จะเจริญขึ้นได้หรือระเหิดได้โดย โอกาสเท่า ๆ กัน และนิวเคลียสที่มีขนาดใหญ่กว่า critical size มีโอกาสที่ หักห้าม สำหรับกรณีของ Becker และ Döring อธิบายการเกิดนิวคลีโอชั้น



รูปที่ 2.1 ขนาดของ nuclei ในหมู่ภารกิจการเกิด Nucleation

ของ Volmer และของ Becker-Döring

$n$  คือ จำนวนโมเลกุลใน nucleus (J.W.Chritian,  
• The theory of Transformations in Metal  
and Alloys" Pergamon Press, Oxford,  
1965)

เมื่อระบบอยู่ในภาวะคงที่ (steady state) ผลที่ได้ถังแสดงในรูป 2.1 สมการ  
แสดงอัตราการเกิดนิวเคลียส์ ให้จากกราฟคุณสมบัติ (2) ความค่าคงที่  $Q_C$  เป็นค่าที่ขึ้น  
กับว่าผลลัพธ์มาจากสถานะใด (เช่นจาก solution, vapor, melt) คันนี้จะได้  
อัตราการเกิดนิวเคลียส์ เช่น ตามสมลักษณ์ของ Becker และ Döring ดังสมการ

$$I = Q_C N q_0 A_C \exp(-g_C^*/kT) \dots \dots \dots \dots \dots \quad (4)$$



(morphology) ทาง ๆ

เนื่องจากแรงตึงผิว มีการเปลี่ยนแปลง

ไปตามทิศทางของระนาบ (plane) ของผลึก

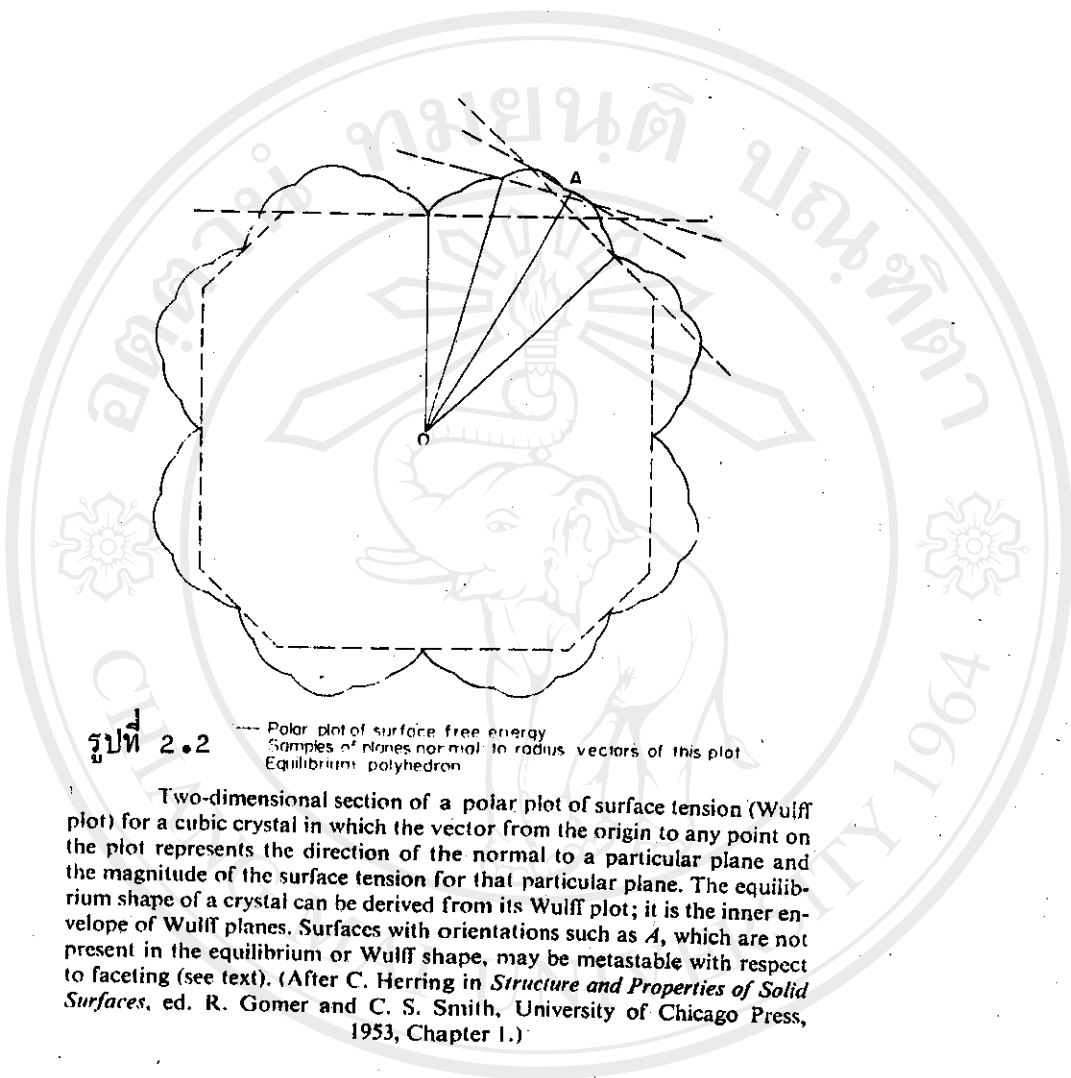
จากการศึกษาการจัดตัวของอะตอมในระนาบท่างกันของผลึก ทำให้เกิดความคิดว่าคุณสมบัติส่วนมากที่เกี่ยวกับผิวของของแข็ง จะเปลี่ยนแปลงไปตามทิศทางการเรียงตัวของผลึก (crystallographic orientation) ที่เป็นระนาบ (plane) ซึ่งได้รับการยืนยันโดยการศึกษาจากการทดลองของปรากฏการณ์หลายอย่าง เช่น ปฏิกิริยาเคมีระหว่างผิว ของผลึกมีสารคลอดาเรียการฟ้อบบีเด็คทูรอน (electron emission) จากผิวของสาร การแพร่ของอะตอมบนผิวของสาร (surface atomic diffusion) ความของแรงตึงผิวจะเปลี่ยนแปลงไปตามทิศทางการเรียงตัวของผลึก (orientation) เมื่อยอนกัน เนื่องจาก binding energy และแบบของการสัมชRTOSของอะตอมที่ผิวจะขึ้นกับการจัดตัวของอะตอมในตำแหน่งเฉพาะที่ (local atomic arrangement) <sup>(11)</sup>

ความของแรงตึงผิว สำหรับผิวระนาบนิยา愧ว่า คือ แรงที่ทำให้เกิด reversible work dw เพื่อทำให้เกิดผิวใหม่ พื้นที่ 1 หนวย dA ที่ อุณหภูมิ T เมื่อมาตรา v และ chemical potentials  $\mu_1$  มีความที่ <sup>(8), (11)</sup>

นั้นคือ

$$\gamma = \frac{dw}{da} \dots \dots \dots (7)$$

เราจะพิจารณาถึงความสัมพันธ์ระหว่างรูปร่างของผลึกกับแรงตึงผิว γ ที่มีการเปลี่ยนแปลงตามทิศทาง (orientation) ของระนาบ มูลฐานของเราก็คือ การหาอนุปร่างที่สัมคัญของ Interface ความของแรงเปลี่ยนแปลงของ γ (แรงตึงผิวหรือพลังงานผิวอิสระ) ตามทิศทางของผิวนั้น แทนโดยคำย แผนภาพໂปลาร์ (polardiagram) ตามรูปที่ 2.2 เรียกแผนภาพ (diagram) นิwa Wulff plot ซึ่งเป็นการเขียนค่าของ γ เป็นพังชันของทิศทางของผิวของผลึกที่กำลังพิจารณา



จัดทำโดย คณิตศาสตร์  
Copyright © by Chiang Mai University  
All rights reserved

ตามในแผนภาพ (diagram) นั้น เวกเตอร์ในแนวรัศมี (radius vector) แผนทิศทางการเรียงตัวของผิว (orientation of the surface) กล่าวคือ ทิศทางของ unit vector ที่ออกจากผิวนั้น ๆ คือ และในขนาดของเวกเตอร์ ในแนวรัศมี แผนขนาดของแรงคงผิว นั้นคือ แผนภาพนี้เป็นการ เชียนภาพตามสมการ

$$\vec{r} = \gamma(\hat{n})\hat{n} \dots\dots\dots(8)$$

หุ่นรูปของ Wulff<sup>(8)</sup> เป็นหุ่นรูปที่เกี่ยวกับการหารูปร่างของผลึกเมื่ออยู่ในสมดุลย์ (equilibrium shape) สำหรับแผนภาพของ  $\gamma(\hat{n})$  ภาพหนึ่ง รูปร่างของผลึกเมื่ออยู่ในสมดุลย์จะเป็นรูปร่างที่ทำให้ความปริมาณ  $\gamma A$  ลดลงทั้งก่อนของผลึกมีค่าน้อยที่สุด กล่าวคือ เมื่อ

$$\int_S \gamma(\hat{n}) dA = \text{ค่าน้อยที่สุด} \dots\dots\dots(9)$$

การ integrate กระทำคลอดทั้ง Interface ปริมาณที่เรา minimized ในสมการที่ (9) นั้นคือ พลังงานผิวอิสระทั้งหมดของผลึก (the total surface free energy of the crystal) สำหรับกรณีของ ๆ เหลว ค่าของ  $\gamma(\hat{n}) = r =$  ค่าคงที่ รูปร่างที่สมดุลย์เป็นทรงกลมซึ่งเป็นรูปร่างที่มีผิวน้อยสุดสำหรับปริมาตรที่กำหนดให้ค่านึง ผลึกพยาيانมีรูปร่างที่คลอดตามความผิว คือ  $\gamma(\hat{n})$  น้อย ๆ หุ่นรูปของ Wulff กล่าวว่า ตารางระนาบ (plane) ผ่านจุดปลายของแท่งเวกเตอร์ในแนวรัศมีของผิวแห่งทิศทาง  $\gamma(\hat{n})$  โดยที่ระนาบ (plane) เหล่านั้นทั้งหมด ก็คือ เวกเตอร์ในแนวรัศมี แท่งอันดีกว่า ได้ว่า กรอบที่ล้อมรอบภายใน (inner envelope) หรือรูปทรงที่เกิดขึ้นโดยจุดทุกจุดที่ระยะจากจุดเริ่มตน (origin) ดึงจุดนั้นไม่ตัด กับ planes เหล่านี้จะเป็นรูปทรงที่มีค่า พลังงานผิวอิสระน้อยที่สุด (the body of minimum surface free energy)

รูปที่ 2.2 ไคแสดง wulff's construction วิธีวาย ชิงในกรณี เนพาร์คังแสดงในภาพ รูปทรงจะเป็นรูปหลายเหลี่ยม (polyhedron) อย่างไรก็ตาม ในผลิกลึกที่แท้จริง ไม่จำเป็นที่มันจะเป็นรูปหลายเหลี่ยม ผลิกลักษณะมีมุมที่ผิดปกติเกียง เป็นระนาบ หรือผลิกลักษณะอันอาจมีเชิงเป็นส่วนโค้งเสมอ (smoothly curved regions) และบางผิวแบบราบ (flats) ซึ่งรูปทรงเหล่านี้นั้นกับแผนภาพ 2 ส่วนยอดแหลมบางอัน ในแผนภาพ บังคับให้เกิดบริเวณที่เป็นระนาบของผิวของผลิกลึก

ในทางปฏิบัตินั้น ผลิกลึกมีขนาดใหญ่ อาจมีรูปร่างไม่เป็นไปตามรูปร่างเมื่ออยู่ในสมุดย์ของมนุษย์ ก็ที่ Frank ไคแสดงให้เห็นว่าสำหรับผลิกลึกที่มีขนาดใหญ่กว่า 1 ไมครอนมาก ๆ ค่าความอimitation ที่ยังคง หรือ driving force นั้น ๆ พึ่งคับการ เจริญของผลิกลึกที่อัตราแนวนอนอันหนึ่ง จะมีค่ามากเมื่อเทียบกับอัตราการเปลี่ยนแปลงของ พลังงานอิสระ เนื่องจาก การที่รูปร่างผิวแตกไปจากรูปร่างเมื่ออยู่ในสมุดย์

#### การเคลื่อนที่ของกัณฑ์โมเลกุลหรือกลุ่มอะตอม (Migration of Adsorbed Molecule or Atoms)

ถังไกความและวิวากการเจริญของผลิกลึก เริ่มจากการเกิดกลุ่มนิวเคลียส (Nuclei) หลัก ๆ ภายในสถานะเริ่มต้นของสาร โดยขบวนการที่เรียกวานิวคลีอีซึ่ง เมื่อนิวเคลียสอยู่ในภาวะเสถียรแล้ว ผลิกลึกเริ่มเจริญขึ้นจากการที่โมเลกุลของสารที่อยู่ในสถานะเริ่มต้น วิ่งเข้าไปติดอยู่บนผิวของผลิกลึกบางมีระเบียบ

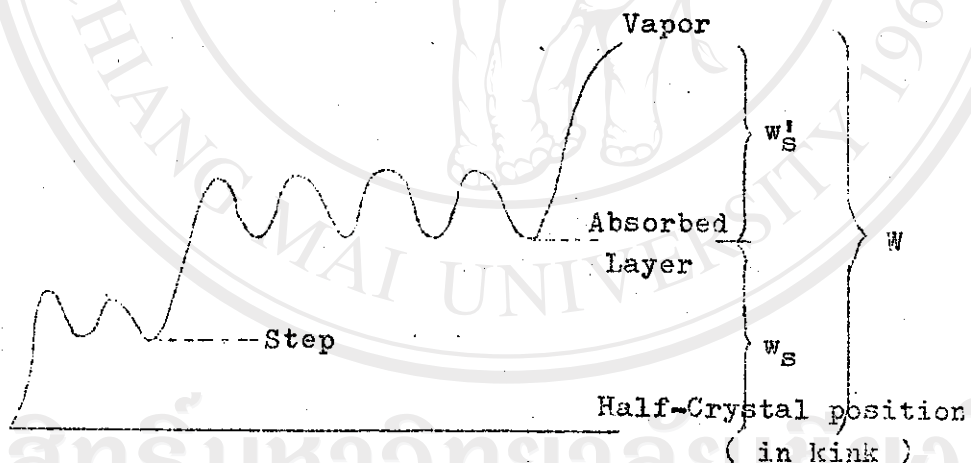
Kossel (8) ได้ให้อธิบายการเจริญของผลิกลึกเกิดจากการเกิดโครงสร้างแบบชั้นบันไดขึ้นบนผิวของนิวเคลียส (รูปที่ 2.4) หรือจากขบวนการที่โมเลกุลเข้าไป เรียงตัวกัน ทรงมุน (kink) ของชั้นบันได (step) และเรียงต่อ ๆ กันไปเรื่อย ๆ ในกรณีที่ผลิกลึกจากไอ ผิวของผลิกลึกจะสัมผัสกับสถานะเริ่มต้นที่เป็นไอ (vapor) โดยทั่ว ๆ ไปจะมีความหนาแน่นของเอกซอร์บลอกตอนหรือโมเลกุล (concentration of adsorbed



กล่าวคือพลังงานของการผลายเป็นไอหงหงก (the total evaporation energy)

หากับผลบวกของพลังงานในยังจากอะตอมหรือโมเลกุล จากรูป (kink) ของขั้นบันได (step) หลักของมารอยบันผิว กับพลังงานของการผลายเป็นไอจากผิวสุสภาวะ (ice)

ในการที่จะอธิบายหรือพิจารณาถึง ความสัมพันธ์ของเอกซอร์บโมเลกุล (adsorbed molecule) หรืออะตอมกับการเจริญของผลึก ควรอีกอันหนึ่งที่จะคงมาเกี่ยว ของ และมีความจำเป็นอย่างมากคือ การของ migration distance  $x_s$  ของเอกซอร์บ โมเลกุล (adsorbed molecules) หรือคือระยะทางเฉลี่ย (mean displacement) ก่อนที่โมเลกุลจะผลายเป็นไออีกรัง (reevaporation) หรือรวมเขากับผลึกเพื่อทำให้ ผลึกใหญ่ขึ้น คือ การ migration distance นั้นคือการเคลื่อนที่ไปทางด้านข้าง (lateral motion) บนผิว แนวอนกการเคลื่อนที่ที่มี potential barriers คั่งนั้น ซึ่งทองกการ activation energy ใน การที่จะเอาชนะ barrier ซึ่งเป็นผล ของอะตอมบนผิวของผลึก รูปที่ 2.3 แสดงค่า potential energy ที่ทำแห่งทาง ๆ



รูปที่ 2.3 Potential energy ของ adatom ที่ทำแห่งทาง ๆ บนผิวของผลึก คือ Half-crystal position อุบัติ kink (repeatable step site)

(O.Knacke and I.N. Stranki in "Progress in Metal Physics"

(B.Chalmers and R.King eds.), Vol 6, p.181. Pergamon Press,

Oxford, 1956)

เวลาที่อะตอมใช้ในการกระโจนไปทางด้านซ้าย (lateral jump) เป็นไป  
ตามสมการ (กฎ 2.3)

$$\frac{1}{T} = v \exp(-U_s/kT) \quad \dots\dots\dots\dots\dots(13)$$

เมื่อ  $U_s$  คือค่า activation energy สำหรับการแพร่บันผิว (surface diffusion)

$v$  คือความถี่ที่มีขนาดกระดับเดียวกัน  $v_2$  ( $\sim 10^{12}$  หรือ  $10^{13}$  ต่อวินาที)

ค่าของ migration distance หรือ mean path length ของอะตอมหรือโมเลกุล เป็นไปตามสมการของ Einstein<sup>(8)</sup>

$$x_s^2 = D_s T_s \quad \dots\dots\dots\dots\dots(14)$$

เมื่อ  $D_s$  คือค่าสัมประสิทธิ์ของการแพร่บันผิว (the surface diffusion coefficient)  
โดยที่

$$D_s = a^2/\tau \quad \dots\dots\dots\dots\dots(15)$$

$a$  เป็นระยะห่างระหว่าง sites ที่อยู่ช่วงเคียงกัน (the separation  
between adjacent sites) จะได้ว่า

$$D_s = a^2 v \exp(-U_s/kT) \quad \dots\dots\dots\dots\dots(16)$$

ดังนั้นระยะทางเฉลี่ยก่อนการกระโจนจะเป็นใหม่ จากสมการ (11)(13)(14) และ  
(16) จะได้

$$x_s = a \left( \frac{v}{v_2} \right)^{\frac{1}{2}} \exp \left[ (w_s - U_s)/2kT \right] \quad \dots\dots\dots\dots\dots(17)$$

ถ้าค่าสัมประสิทธิ์มีค่าไกล์เดียว 1 การคำนวณหา  $x_s$  โดยประมาณกระทำ  
โดยการคิดว่า Interaction  $\phi$  เกิดจากอัตราตอนที่อยู่ทางเดียวกันเท่านั้น สำหรับ  
บนผิว (111) จะได้

$$w_s^* = 3\phi = \frac{W}{2}$$

โดยที่คิดว่า  $b_s$  มีค่าน้อยมากเมื่อเทียบกับความของ  $w_s^*$  คันจั่วไกล์

$$x_s \approx a \exp(-3\phi/2kT)$$

กรณี  $a$  เป็นระยะทางระหว่างอัตราตอนที่อยู่ไกล์กันมากที่สุด ตัวอย่าง เช่น สำหรับผลแบบ  
fcc ซึ่งมีค่า  $\frac{\phi}{kT} = 4$

จะได้

$$x_s \sim 400 a$$

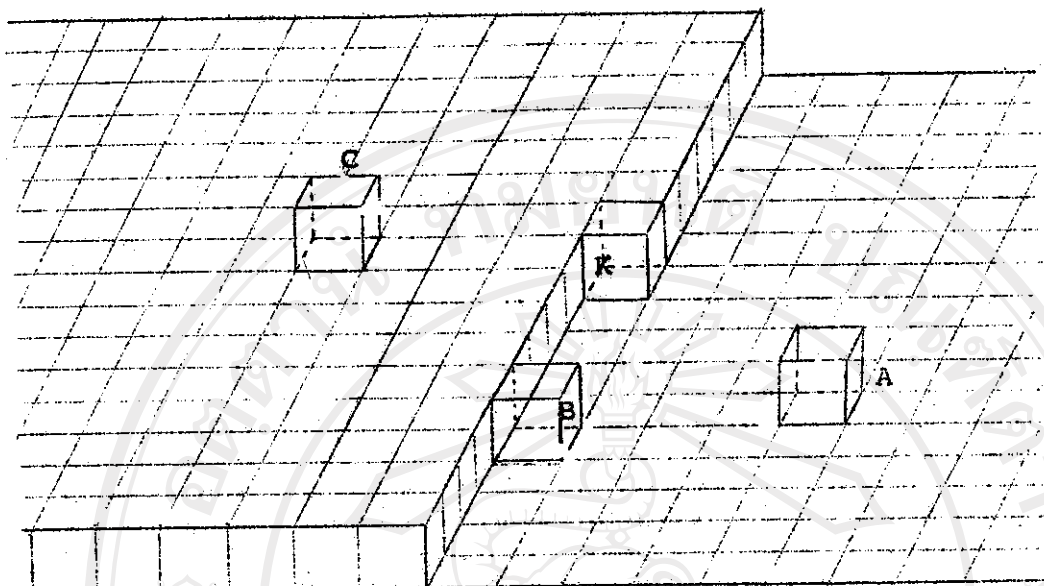
คันจั่วไกล์ค่า  $x_s$  มากกว่า  $a$  มากและ  $x_s$  มีค่าเพิ่มขึ้นอย่างรวดเร็ว ขณะที่คูลอนบี  
มีค่าลดลง

#### การเจริญของผลึกตามโมเดลของ Kossel

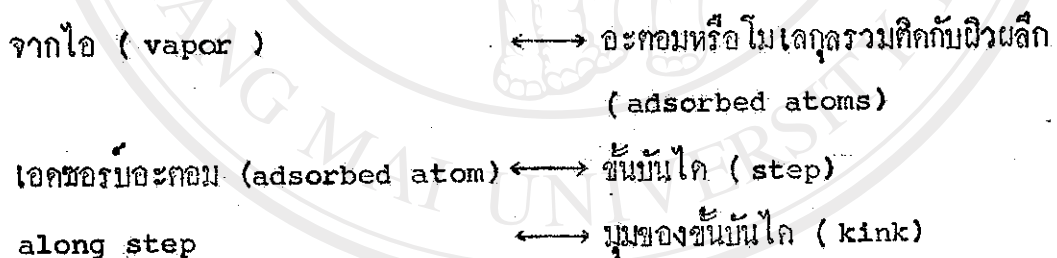
#### การเจริญของชั้นบันไดคีเดีย

ขบวนการการเจริญของผลึก ตามทฤษฎีของ Kossel<sup>(8)</sup> นี้ ให้กล่าว  
แล้วว่า เป็นการเกิดโครงสร้างเป็นชั้นบันได (steps) เกิดต่อ ๆ กัน โดยที่ไม่เลกุด  
หรืออัตราตอนเข้าไปเรียงตัวกันอย่างเป็นระเบียบพมนิยองชั้นบันได ที่สูง K ตามรูป 2.4  
ลักษณะการเจริญของชั้นบันได (step) ตามแบบ (model) นี้เป็นไปดังนี้

Copyright © by Chiang Mai University  
All rights reserved



รูปที่ 2.4 แสดงโครงสร้างของขั้นบันได (step) มุมของขั้นบันได (kink) และ อะตอมหรือโมเลกุลที่รวมติดกับผิวผลึก (admolecule หรือ adatoms)



ลักษณะของการที่โมเลกุลจะรวมเข้าไปติดกับผิวผลึก มันเข้าไปยังจุดที่มี binding energy มากพอที่จะจับมันเข้าไว้ อะตอมจากสถานะไอที่ทราบ แนวเข้าไปรวมบนผิวผลึกตรง (site) A หรือ C ที่มี bond ที่จะจับกับผลึกโดย มันจะเคลื่อนที่ (migrate) ไปบนผิวของผลึก ระยะทางที่อะตอมเคลื่อนที่ไปบนผิวของผลึกเป็นไปตามสมการที่ (17) ถ้าหากว่าในระยะทางนี้ เอตอะตอม (adatoms) เคลื่อนที่ไปพบจุด B

มันก็จะมีโอกาสที่จะคิดอยู่บนผิวของผลึกอะตอมที่ B มีแนวโน้มที่จะเคลื่อนที่ไปตามขั้นบันได ไปศีกอย่างจุก K (มุขของขั้นบันได) อะตอมใดที่เคลื่อนที่ไปไม่พบจุก B หรือ K มันก็จะหลุดออกจากผิวกลาญเป็นไอโนท์ และช่วงชีวิต (lifetime) ของ เอตอะตอมเป็นไปตามสมการ (11) ระหว่างทางเดินระยะห่าง kinks sites ที่อยู่ชางเคียงกัน (The mean distance between adjacent kinks) บนขั้นบันไดมีค่า เป็นไปตาม – สมการ<sup>(8)</sup>

$$x_0 = \frac{1}{2} a \left( \exp(w/kT) + 2 \right) \dots\dots\dots\dots\dots (18)$$

เมื่อ a เป็นระยะระหว่างอะตอม (interatomic spacing) w คือพลังงานที่คงใช้ในการทำให้เกิดมุขของขั้นบันได (kink) 1 อัน ภายใต้ภาวะสมดุล (equilibrium conditions) ขั้นบันไดมีทิศทางเดียวกันทั้งที่ (constant mean direction) กล่าวคืออยู่ในแนวตรง และโดยทางกลับกันภายใต้ภาวะไม่สมดุล (nonequilibrium conditions) ขั้นบันไดเป็นเส้นโค้ง ค่า  $x_0$  มีความกว้างค่า a และมีความอย่าง migration distance มาก ตัวอย่างกรณีของขั้นบันไดของ plane (11) บน (111) fcc crystal สำหรับการคิด interaction คือระหว่างอะตอมที่อยู่ใกล้กันมากที่สุดเท่านั้น

$$w = \frac{1}{2} \phi = \frac{1}{12} W$$

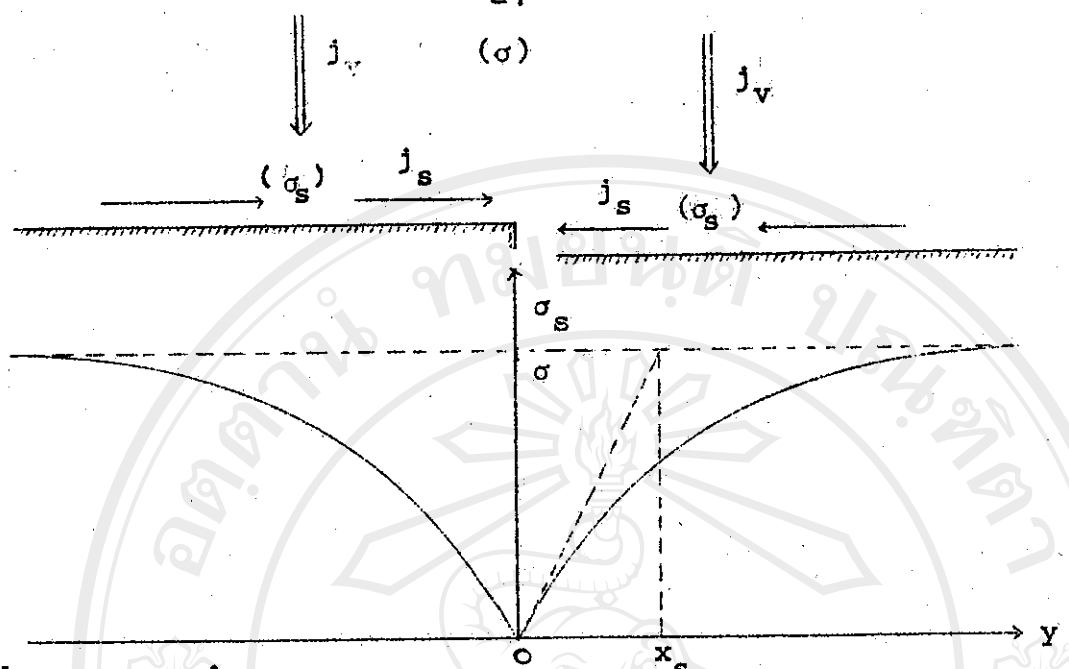
เมื่อ  $\phi$  เป็น nearest-neighbor interaction energy พลังงานความร้อนที่ใช้ในการระเหิด (the heat of sublimation) สำหรับสารตามแบบที่คาดว่าเป็นตัวอย่าง (fcc Crystal) นั่นค่า

$$\phi \sim 4 kT$$

ก็จะได้

$$x_0 \sim 4a$$





รูปที่ 2.5 การแพรบบนผิว (Surface diffusion) (A.Ookawa, Physical interpretation of Nucleation and Growth theory, in Crystal Growth and Characterization, R.Ueda and J.B. Mullin, ed., Amsterdam, North-Holland, 1975 p5.)

จากการแพร่ในไอ้มีความมากกว่าการแพรบบนผิวซึ่งเล็กมาก เราประนามเอาว่า σ ในไอคงที่และ σ<sub>s</sub> บนผิวนี้การเปลี่ยนแปลงตามกฎของ Fick<sup>(8)</sup> เกี่ยวกับการแพร (สำหรับการไหลในทิศทางเดียวกันแนวนอน y โดยทั้งจากภายนอกเข้าไป) เป็นไปตามสมการ

$$j_s = -D_s \frac{\partial n}{\partial y}$$

$$= D_s n_s \frac{\partial \psi}{\partial y}$$

เมื่อ j<sub>s</sub> คือกระแสการไหลของโมเลกุลบนผิวผลึก และ

$$\psi = \sigma - \sigma_s$$

$$= \alpha - \alpha_s$$

ท่านองเกี่ยวกับมีการไหลของอะตอม j<sub>v</sub> จากสถานะไอไปสู่ผิวของผลึก

ตามสมการ

$$\begin{aligned} j_v &= (\alpha - \alpha_s) n_{so} / \tau_s \\ &= n_{so} \Psi / \tau_s \end{aligned} \quad \dots \dots \dots \quad (22)$$

พัฒนาเนื่องจากว่าจำนวนไอโคอะตอมที่หลุดออกจากการปีวากลายเป็นไอเทาทัน  $\frac{n_s}{\tau_s}$   
โดยที่

$$\frac{n_s}{\tau_s} = \alpha_s n_{so} / \tau_s$$

และจำนวนไอโคอะตอมที่เข้ามายังปีวากลายเท่าทัน  $\alpha n_{so} / \tau_s$  คือมีท่าเทาทัน  $\alpha$  คูณกับ  $n_{so} / \tau_s$  ซึ่งเป็นท่าท้อดอมมากถึงผิวหรือระเบยกลายเป็นไอที่สมดุล สำหรับการณ์ของชั้นบันไดของท่อ ให้เดียวถ้าการกระจายคงทัว (steady distribution)  $n_s(y)$  ซึ่งเป็นฟังก์ชันของระยะทาง  $y$  (ดูรูป 2.5) หาได้เนื่องจากความคงทัวของ เอโคอะตอม (conservation of adatoms)

$$\operatorname{div} j_s = j_v \quad \dots \dots \dots \quad (23)$$

$$x_s^2 \nabla^2 \Psi = \Psi$$

การณ์ของการเคลื่อนที่ที่ทางเดียวไปทางแกน  $y$

$$x_s^2 \left( \frac{d^2 \Psi}{dy^2} \right) = \Psi \quad \dots \dots \dots \quad (24)$$

โดยเงื่อนไขของขอบเขต (boundary condition)

$$\begin{aligned} \dot{n}_s &= 0 & \text{(บริเวณใกล้ๆ กับ Step)} \quad \text{ที่ } y = 0 \\ \text{และ } \sigma_s &= \sigma & \text{ที่ } y = \infty \end{aligned}$$

ก็จะนั่นจะได้ว่าสมการที่ (24) มีค่าตอบเป็น (8)

$$\Psi = \sigma \exp(-y/X_s) \quad \dots \dots \dots \quad (25)$$

$$\text{หรือ } \sigma_s(y) = \sigma \{1 - \exp(-y/X_s)\} \quad \dots \dots \dots \quad (26)$$



$$C_o = (\pi x_s) / x_o \ln (2x_s/\gamma' a) \dots\dots\dots (29)$$

เมื่อ  $\gamma' = 1.78$  วิธีการนี้ยังนำไปใช้กับกรณีของการแพร่ (diffusion) ในขอบ (edge) ของชั้นบันไดที่มีความต่างของการแพร่ (diffusion constant)  $D_e$  มีค่า การแพร่โดยตรงจากผิวไปยัง kink เร็วมาก จนเราสามารถไม่นำมาคำนวณกรณีที่  $\gamma'$  ไม่มีความสูงมากนัก และจะมองว่าการหานานาคดีของกระแสที่กำลังแพร่ที่ขอบของชั้นบันได และกระแสที่กำลังแพร่บนผิวไปยังชั้นบันได

#### กรณีของชั้นบันไดทรงเหลี่ยมที่ข้างกัน

ในการพิจารณาชั้นบันไดที่เป็นเส้นตรงเรียบลักษณะนี้ ก็จะมีระหบงกันเท่ากัน  $x_o$  เท่า ๆ กัน โดยที่ แต่ละชั้นมี surface supersaturation  $\varsigma = 0$  ตามสมมุติฐานที่ใช้ในการที่ (24) เราจะใช้สมการ (24) แก้ปัญหานี้ได้ แต่ต้อง

$$v_a = 2\beta C_o x_s v_2 \exp(-W/kT) \tanh(Y_o/2x_s) \dots\dots\dots (30)$$

ในการพิจารณาชั้นบันไดอยู่หางกันมากสมการที่ (30)  $\rightarrow$  (28)

#### กรณีชั้นบันไดแบบชกเป็นวงกลม

อัตราการเจริญของชั้นบันไดที่โถง เป็นกรณีที่น้ำสนใจ สำหรับชั้นบันไดที่เป็นวงกลมที่มีรัศมีเท่ากับ  $r$  อัตราของการเจริญของชั้นบันได สำหรับค่า  $r > x_s$  เป็นไปตามสมการโดยประมาณของ (6)

$$v_{(r)} = v_a (1 - \alpha_c/\theta) \dots\dots\dots (31)$$

เป็นจริงสำหรับค่าความอิมก้านอย ๆ เมื่อ

$$r_c = \gamma_e a / kT \ln \alpha \quad \dots \dots \dots \quad (32)$$

เมื่อ  $r_c$  เป็นไปตามสมการ (28)  $r_c$  เป็นค่า critical radius สำหรับนิวเคลียส เอชัน ใน 2 มิติ  $\gamma_e$  คือค่า edge free energy per molecules

สำหรับ Series ของ concentric circles อัตราการเจริญของขั้นบันไดเหมือนกับ (31) หากค่าของ  $v_\alpha$  เป็นไปตามสมการ (30)

### แหล่งกำเนิดของขั้นบันได (13) (Sources of Steps)

ดำเนินตอนเริ่มน้ำหนึ่งของการเจริญของผลึก ไม่ใช้ขั้นบันได บนผิว โอกาสที่จะเกิดขั้นบันไดขึ้นมาโดยขบวนการทาง ๆ นี้ตั้งทอยู่ใน

1. เกิดจากขบวนการนิวเคลียส เอชัน โดยที่ critical nucleus ที่มีรัศมี  $r_c$  ถูกสร้างขึ้นจาก การเปลี่ยนแปลงทางความร้อน และแล้วก็เริ่มเจริญพอกไปเพื่อทำให้เกิดขั้นของโมเลกุล (molecular layer) ใหม่

2. เกิดจาก Dislocations หรือแม่แคริคต์ล์มัฟล์ร่วงระหว่างผลึกกับ Container ของมัน

3. Grain boundaries ระหว่างผลึก 2 อันที่อยู่ข้างเคียงกันและมีทิศทางทางกัน

4. Foreign macroscopic particles

5. Twins

6. Crystal edges และ edge dislocations

### การเกิดขั้นบันไดจาก Dislocations.

สำหรับผิวของผลึกที่ประกอบด้วย closed-packed planes จะเป็นจะท้องมีเหลางกำเนิดของโครงสร้างแบบขั้นบันได เม้าท์ผิวของผลึก ที่ประกอบด้วยผิวที่มีครรชนีของมิลเลอร์ (Miller indices) สูง ๆ ที่ในตอนแรกเริ่มเมื่อขั้นบันไดอยู่ แต่หลังจากนานการการเจริญทำให้ในรั้วระยะที่แน่นอนอันหนึ่ง ขั้นบันไดเหล่านี้จะหายไปทำให้ผิวของผลึกไม่มีขั้นบันได

Frank (8) ได้ให้อธิบายว่า dislocations แบบสกรูของผลึกสามารถเป็นจุดกำเนิดของขั้นบันได ได้

สำหรับ dislocation ที่มีจุดปลายอยู่กับท่อรัง菊ที่หุ้นน้ำ ที่มีจุดปลายอยู่กับมันด้วย เมื่ออะตอมถูกรวมเข้าไปยังขั้นบันได มันจะเริ่มเป็นเส้นโค้ง เนื่องจากอัตราการเจริญของขั้นบันได  $v_a$  ในช่วงก้นพิเศษ ( $\text{ถ้า } x_0 \ll x_s$ ) หากๆ จุดบนขั้นบันได นอกจากท่อรัง菊ที่อยู่ใกล้ ๆ กับ dislocation จะมีอัตราการเจริญแบบเส้นตรงที่เพิ่มขึ้น ๆ กัน ดังนั้นทำให้เกิดเป็นวงกลมขึ้น ซึ่งทำให้รูป่างของผิวแบบกลดรายเป็น flat cone ของกลมวนตัวของมันเอง จนกระทั่งรัศมีความโค้งที่คุณย่อกลายเป็น  $\frac{2\pi r}{\rho_c}$  (คูณหารที่ 31) และแล้ววงกลมทั้งหมดจะหมุนด้วยรูป่างที่คงที่แน่นอน

สำหรับวงกลมในภาวะคงทัว (steady state) จะมีรูป่างโดยประมาณเป็น Archimedes spiral เมื่อใช้ radial coordinates  $r, \theta$  จะได้ว่า

$$r = 2\rho_c \theta \quad \dots\dots\dots\dots\dots (33)$$

ซึ่ง  $r$  คือความโค้ง (curvature) จาก จุดเริ่มท้น สำหรับแต่ละรอบที่ขั้นบันไดเลื่อนไปทางหน้า เป็นระยะทาง  $4\pi\rho_c$  ในช่วงเวลาหนึ่งจะได้ว่า

$$4\pi \rho_c / v_\infty = \frac{2\pi}{\omega}$$

เมื่อ  $\omega$  เป็นความเร็วเชิงมุมของการหมุนกลม (spiral rotation) ดังนั้น อัตราการเจริญของผลึก  $R$  เมื่อความสูงของชั้นบันไดเป็น  $a$

$$\begin{aligned} R &= a\omega / 2\pi \\ &= n_0 e \omega / 2\pi \\ &= n_0 e v_a / 4\pi \rho_c \dots\dots\dots(34) \end{aligned}$$

เมื่อ  $e$  คือค่าปัจมุทิตของหนึ่งโน้มเล็กจาก (30) เมื่อ  $v_a = 4\pi \rho_c$  และจาก (32) โดยคิดว่า สำหรับค่า  $\sigma$  น้อย ๆ จะได  $\ln(1+\sigma) \sim \sigma$  เราจะไดว่า

$$R = \beta c_0 n_0 v_2 \exp(-W/kT) (\sigma^2/\sigma_1) \tanh(\frac{\sigma_1}{\sigma}) \dots\dots\dots(35)$$

$$\sigma_1 = 2\pi r_e a / k T X_s \dots\dots\dots(36)$$

เมื่อค่า  $\sigma \ll \sigma_1$  เราจะได parabolic law

$$R \propto \sigma^2 \dots\dots\dots(37)$$

และเมื่อ  $\sigma \gg \sigma_1$  จะได linear law

$$R \propto \sigma \dots\dots\dots(38)$$

สำหรับกรณีของ parabolic law จะเป็นทางของชั้นบันได  $4\pi \rho_c$

มีความกว้าง  $x_s$  มาก ดังนั้น diffusion fields ของชั้นบันไดจะไม่ซ้อนกัน เป็นผลให้เนื้อห้อง (adatoms) ที่ถูกผลักไปบนผิวของผลึกหอยหางจากชั้นบันไดหอยหางที่สุดมาก

ภาวะของ  $x_s$  จะมีแนวโน้มที่จะระเหิดไป ก่อนที่นั้นจะวิ่งไปถึงขั้นบันได ทำให้อัตราการเจริญ (growth rate) ลดลงไปตามทิศทางการเจริญที่叫做 linear law รูปของ  $\frac{x_s}{\sigma} = \tanh(\sigma_1/\sigma)$  สามารถถือได้ว่าเป็นแบบหนึ่งของ "condensation coefficient" สำหรับมูลค่าของการแพร่ของขั้นบันได คาดว่า หมุนเวียนเท่ากับ 1 สำหรับค่า  $\sigma$  มาก ๆ (ขั้นบันไดจะอยู่ใกล้ชิดกัน) และมีค่าไปสู่ศูนย์แบบเส้นทางความค่าของ  $\sigma$  เมื่อ  $\sigma$  มีค่าน้อยลง (สำหรับขั้นบันไดห่างกัน) เช่น  $\sigma_0 n_0 v_2 \exp(-W/kT)$  คือฟลักซ์ของไอทั่มหมุนที่วิ่งเข้า ซึ่งเมื่อคูณเข้ากับ condensation coefficient ที่กำหนด ก็จะไดอัตราการเจริญของผลึก (The crystal growth rate)  $\sigma_0 n_0 v_2 \exp(-W/kT) = P_0 (2\pi mkT)^{-1/2}$  คือฟลักซ์ที่วิ่งเข้าหรือวิ่งออกภายนอก เนื่องจากความไม่สมดุล

### การเกิดนิวเคลียสบนผิวผลึก (Nucleation on a Surface)

การเกิดขั้นบันไดอีกครั้งนี้ โดยขบวนการนิวเคลียเซชัน ในการณีของ singular surface ของผลึกที่สมบูรณ์กลางคือไม่มี dislocation, vacancies หรือความไม่สมบูรณ์อื่น ๆ ทุก ๆ ครั้งที่ขั้นบันไดบนผิวของผลึกแบบนี้เจริญไปกลุ่มไปเป็นผิวผลึกต่อๆ กันๆ จึงเป็นจุดคงมีการสร้าง monomolecular layer ขึ้นบนผิวของผลึกนั้น เนื่องจากการเปลี่ยนแปลงทางความร้อน (Thermal fluctuations) ของเอกภพตอน (อะตอมที่เกาะบนผิวผลึก) บน closed-packed surface

อัตราการเกิดนิวเคลียเซชันบนผิวของผลึกนั้นขึ้นกับ ๑. ความถี่ที่กลุ่มไม่เลกุดที่ขาดไม่เลกุดไป ๒. ที่ว่าจะเป็นนิวเคลียสที่เสด็จยัง ถลายเป็นนิวเคลียล กลุ่มไม่เลกุดที่ขาดไม่เลกุดไป ๓. ที่ว่าจะเป็นนิวเคลียสที่เสด็จยัง ถลายเป็นนิวเคลียล กลุ่มไม่เลกุดที่ขาดไม่เลกุดไป subcritical embryos ดังนั้น ๔. รัศมีอัตราซึ่งเอกภพตอนแต่ละทัวรวมเข้าไปบนกลุ่มไม่เลกุดที่ขาดไม่เลกุดไป ๕. ที่ดังกล่าว ความถี่ ๖. คำนวณได้จากการถังทองใบนี้

$$\omega = 2\pi^* a n_s \gamma_3^* \exp(-U_s/kT) \dots\dots\dots (39)$$

กล่าวคือเป็นผลรวมของ  $2\pi \gamma^* a n_s$  จำนวนของเอกอัคคลอมที่อยู่ข้างเคียงกับกลุ่ม - embryo ที่มีรัศมี  $\gamma^*$  กับความถี่  $\gamma_3^*$  ของการที่จะเอาชนะ diffusional barrier ไปเข้าอกกับกลุ่มโน้ตเดลกูลหรืออะตอม และคูณกับโอกาส  $\exp(-U_s/kT)$  ของการที่จะเอาชนะตัวภายนอก (barrier) ของการแพร่ชนพิว

อัตราการเกิดนิวเคลียต์เขียนยังขึ้นเป็น  $n_i$  ความหนาแน่น (concentration) ของ subcritical embryos ซึ่งความหนาแน่นนี้เป็นไปตามสมการ

$$n_i = n_o \exp(-g_e/kT) \dots\dots\dots (40)$$

$$g_e = \frac{1}{2} \frac{\pi \gamma_e^2}{h k T} \ln(P/P_o)$$

เมื่อ  $\gamma_e$  คือค่า edge energy ของหนึ่งหน่วยความกว้าง

$n_o$  คือจำนวนแลหที่สกอนึงหน่วยพื้นที่ (the number of lattice sites per unit area)

ดังนั้นอัตราการเจริญของ critical nucleus บนผิวหลังเป็นไปตามสมการ

$$I_{SD} \propto \Omega n_o \exp\left\{-\frac{1}{2} \frac{\pi \gamma_e^2}{h k T} \ln(P/P_o)\right\} \dots\dots\dots (41)$$

จะเห็นว่าในสี่สิ่งที่เขียนมาจะเขียนส่วนการณ์เสียใหม่ให้ว่า (8)(12)

$$I_{SD} = \Omega n_o \exp\left\{-\frac{1}{2} \frac{\pi \gamma_e^2}{h k T} \ln(P/P_o)\right\} \dots\dots\dots (42)$$

น คือจำนวนของโน้ตเดลกูลที่มีค่า critical nucleus ของหนึ่งหน่วยเวลา

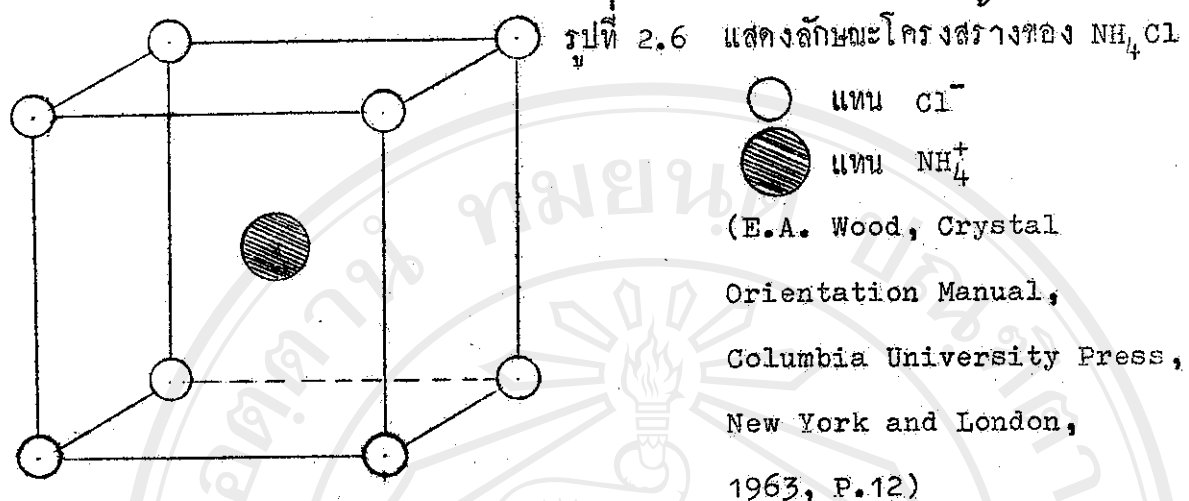
อัตราการเกิดนิวเคลียส (Nucleation rate) เป็นฟังชันของ  $(\frac{P}{P_0}) = \alpha$  ดังนั้นอัตราการเจริญของผลึกเป็นฟังชันของ  $(\frac{P}{P_0})$  ด้วยที่คาดทำกว่าความอิ่มตัวยังคงที่แน่นอนอันหนึ่ง  $\alpha = \alpha - 1$  อัตราการเจริญเป็นฟูน์ชันของ  $\alpha$  สำหรับการเกิดนิวเคลียสแบบอื่น ๆ ที่เหลือมีความบุ่งมากในการอธิบายมาก ซึ่งจะไม่กล่าวถึงในที่นี้

### ความรู้ทั่วไปเกี่ยวกับแอมโมเนียมคลอไรด์

แอมโมเนียมคลอไรด์ เป็นสารที่มีโครงสร้างของโมเลกุลเป็นแบบ cubic ภาระน้ำผึ้งของแอมโมเนียมคลอไรด์ไปตรวจสอบคุณภาพรังสีเอกซ์ โดยวิธีของ Debye scherrer แบบของลายเส้นที่ออกมาระหว่างเกิดจาก lattic plane (100), (110), (111), (200), (210), (221), (300), (310), (311), (222)... ค่าของແລທີສຄອນສແຕນ (lattice constant) หົວໜ້າທຳກັງແສດງໄວ້ 4 ຄາຕົງນີ້ (14)

หົວໜ້າ	250 ° C	ກາ	a	6.5211 Å°
	26 ° C	ກາ	a	3.8756 Å°
	18 ° C	ກາ	a	3.8684 Å°
	-185 ° C	ກາ	a	3.8200 Å°

จากการແລທີສຄອນສແຕນ (lattice constant) หົວໜ້າທຳກັງ ຈະເຫັນວ່າທີ່ອຸ່ນຫຼຸມທຳ ທ່ານແລທີສຄອນສແຕນພື້ນຖານໄກ້ເກີຍກັນມາກ ກາຈັບທັງກັນຂອງ  $\text{NH}_4^+$  ກັນ  $\text{Cl}^-$  ມີລັກະພະ ແມ່ນກັນ  $\text{CaCl}$  ທີ່ມີລັກະພະດັ່ງນີ້ 2.6



ผลึกของแอมโมเนียมคลอไรด์ที่เกิดจากการปลุกโดยใช้สารละลายที่ประกอบไปด้วยแอมโมเนียม ไฮไลด์ (ammonium halide) กับ urea โดยการทำให้สารละลายเกิดการระเหยไปอย่างช้า ๆ ทำให้เกิดผลึกที่เป็นรูปสูญญากาศซึ่งแสดงถึงโครงสร้างภายในของมันเอง<sup>(15)</sup>

เนื่องจากสารประกอบของแอมโมเนียม โดยทั่ว ๆ ไปเมื่อโคนความร้อนมันจะไม่เสถียร (unstable) คือเกิดการแตกสลาย สารประกอบของแอมโมเนียมบางอย่างเมื่อแตกสลายแล้วจะสามารถไปรวมกันใหม่ในส่วนที่ยังคงไว้ได้ บางครั้งรวมตัวแบบเดิมไม่ได้<sup>(16)</sup>

สำหรับแอมโมเนียมคลอไรด์ที่เป็นของแข็ง เมื่อโคนความร้อนจะเกิดการระเหยโดยเล็กน้อยในหยดที่แยกออกจากหัวทดลองของ Coldfinger และ Verhaegen<sup>(17)</sup> พนวจจะแตกตัวออกมาตามสมการ



$\Delta H_T^\circ$  คือการเปลี่ยนแปลงของ enthalpy

ส่วนประกอบที่แยกออกมานาเป็นลักษณะไอิที่ประกอบด้วยแอมโมเนียมคลอไรด์ ซึ่งสามารถไปรวมตัวกันเป็นของแข็งของแอมโมเนียมคลอไรด์ บนส่วนที่เป็นกาวๆ จุดเริ่มต้น ไอก๊อกรัง ดังนั้นจึงสามารถปลดปลั๊กของแอมโมเนียมคลอไรด์โดยวิธีการระเหิด (sublimation technique)

จากการวัดความหนาแน่นของ  $\text{NH}_3^+$  และ  $\text{HCl}^+$  เป็นพื้นที่ของ อุณหภูมิ พิมพ์อากาศทั้ง 2 ขึ้นกับอุณหภูมิสารแอมโมเนียมคลอไรด์ สามารถเผาให้แตกสลาย ไก่ตามสมการ (43) ภายใต้ความดัน 1 bar<sup>(5)</sup> หรือประมาณความดัน 1 บาร์ยากาศ ( $1 \text{ atm} = 1.013 \text{ bar}$ ) ดังนั้นจะเห็นได้ว่าเราสามารถปลดปลั๊กของแอมโมเนียมคลอไรด์ที่ความดันบาร์ยากาศ

โคนีความพยายามปลดปลั๊กเชิงเก็บของแอมโมเนียมคลอไรด์จากไอน้ำ แล้วหลายวิธี แต่ละขั้นวนการก็เรียกชื่อทางกันออกไช S.Radhakrishna และ B.D. Sharma<sup>(18)</sup> ไคเด่นอย่างวิธีการปลดปลั๊กแอมโมเนียมคลอไรด์ โดยวิธี เรียกว่า vapor phase technique ทูนما S.D. Sharma และ Krishna Kumar<sup>(19)</sup> ไคทำกรหดลองปลดปลั๊กเชิงเก็บของแอมโมเนียมคลอไรด์ ตามวิธีและ เงื่อนไขของ S.Radhakrishna และ B.D. Sharma แต่จากการตรวจสอบผลลัพธ์ของ แอมโมเนียมคลอไรด์ที่ปลดปลั๊กโดยวิธีนี้ โดยวิธีการของรังสีเอกซ์ แล้วปรากฏว่าเป็นผลลัพธ์ เชิงช้อน<sup>(19)</sup> จากการศึกษาในปัจจุบันนี้เป็นที่ทราบกันแล้วว่าการปลดปลั๊กเชิงเก็บของ แอมโมเนียมคลอไรด์ โดยวิธี vapor phase technique นั้นทำได้ยากมาก

อย่างไรก็ตาม S.D. Sharma และ Krishna Kumar<sup>(19)</sup> ยัง ไกรายงานว่าสามารถปลดปลั๊กเชิงเก็บของแอมโมเนียมคลอไรด์โดยวิธีการ sublimation technique ซึ่งเป็นวิธีการที่ผู้เขียนใช้หดลองปลดปลั๊กของแอมโมเนียมคลอไรด์ ในการทำการวิจัยครั้งนี้ สำหรับการทำการหดลองของ S.D.Sharma

Krishna Kumar นั้นเข้าใจรายงานว่า โค้ดลิกเชิงเดียวของแอมโมเนียมคลอไรด์ ที่เป็นรูปเข็มที่ความกว้าง 5-7 มิลลิเมตร และผลึกที่ได้เป็นผลึกเชิงเดียว

จากสมการ (43) เราทราบว่าแอมโมเนียมคลอไรด์ จะแตกตัวออกเป็น แอมโมเนียและไฮโคลรีน เนื่องจากผ่าน อย่างไรก็ตามยังมีไม่เกิดขึ้นของ  $\text{NH}_4\text{Cl}$  เป็นบางส่วนที่ไม่แตกตัว ปริมาณของโน๊ตกลุ่มที่ไม่แตกตัวจะลดลง เมื่ออุณหภูมิ เพิ่มขึ้นเป็นที่ประมาณกันเป็นอย่างที่แล้วว่า แอมโมเนีย หลุดไอก็โคลรีนคลอไรด์ ที่แห้งสนิท จะไม่รวมและผสมเข้าหากัน

สำหรับการเริ่มต้นเกิดผลึกของแอมโมเนียมคลอไรด์นั้น การเกิดนิวเคลียชนั้น เกิดจากโน๊ตกลุ่มของแอมโมเนียมคลอไรด์ ที่ไม่ได้แตกตัวจากการเผา จากนั้น การเจริญเป็นผลึกขนาดใหญ่ขึ้นก็เกิดจากการที่แอมโมเนีย และไฮโคลรีนคลอไรด์ ถูก คุกคักเข้ากันนิวเคลียสเกิดการแพร่ไปยังจุดที่ทำให้เกิดการเจริญ (growth sites)

ลิขสิทธิ์มหาวิทยาลัยเชียงใหม่  
Copyright © by Chiang Mai University  
All rights reserved